

18. А. П. Алдущин, Б. С. Сеплярский, К. Г. Шкадинский. ФГВ, 1980, 16, 1, 36.
 19. Г. С. Сухов, Л. П. Ярин. ФГВ, 1980, 16, 3, 34.
 20. А. Д. Лебедев, Г. С. Сухов, Л. П. Ярин. ФГВ, 1977, 13, 1, 10.
 21. А. Н. Питюлин. Канд. дис. ОИХФ АН СССР, 1980.
-

**ГОРЕНИЕ ГАЗОВЗВЕСЕЙ
МЕТАЛЛИЧЕСКИХ ПОРОШКОВ
(ТРЕХЗОННАЯ МОДЕЛЬ)**

*B. M. Кудрявцев, A. B. Сухов, A. B. Воронецкий, A. P. Шпара
(Москва)*

В последние годы проводятся интенсивные исследования воспламенения и горения газовзвесей металлических порошков. Знание закономерностей этих процессов важно для ряда отраслей народного хозяйства. Несмотря на актуальность данной проблемы, многие задачи еще не решены.

Как правило, в реальных процессах воспламенение и горение газовзвесей металлических порошков протекает при высоких давлениях, а влияние давления на характеристики горения, как следует из экспериментальных данных, имеет ряд особенностей, некоторые из которых не поддаются объяснению с позиций имеющихся моделей. Кроме того, существующие методики расчета не позволяют описать процессы воспламенения и горения газовзвесей частиц в рамках единой модели, что приводит к существенным погрешностям, особенно при расчетах переходных режимов, стадии формирования фронта пламени и так далее.

Данная работа посвящена аналитическому исследованию процессов воспламенения и горения газовзвесей частиц металлов. Рассмотрим основные положения предлагаемой модели. Принимается, что частицы имеют одинаковый начальный размер, расстояние между ними в процессе воспламенения и горения остается неизменным, процессы тепло- и массообмена обладают сферической симметрией, квазистационарны и протекают в пределах приведенной пленки.

Макропроцесс воспламенения и горения газовзвеси частиц металла рассматривается как сумма микропроцессов воспламенения и горения отдельных частиц металла. Это позволяет свести расчет газовзвеси в целом к расчету отдельной частицы в ее составе, для чего вводится понятие «условного» объема, которое определяется как объем газовой среды, приходящийся на одну частицу. Отличительная особенность модели состоит в том, что понятие «условного» объема используется не только на стадии воспламенения, как это сделано в работе [1], а распространено и на стадию горения.

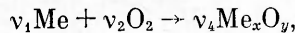
Таким образом, согласно определению «условного» объема, его радиус можно рассчитать по следующей зависимости:

$$r_y = r_{s0} \sqrt[3]{\frac{\rho_m}{\rho_{23}} \frac{1 - \eta_m}{\eta_m} + 1}.$$

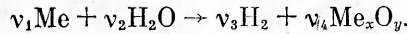
Здесь r — радиус; ρ — плотность; η — относительная массовая концентрация металлического порошка в газовзвеси; индексы: y — «условный» объем, s — поверхность частицы, m — конденсированный металл, 0 — начальное значение параметра.

В данной работе рассмотрено воспламенение и горение металлических порошков в кислороде и водяном паре, поскольку эти окислители представляют наибольший интерес. Будем считать, что имеют место следующие химические реакции:

а) воздух



б) водяной пар



Здесь v — мольный стехиометрический коэффициент; Me — металл; индексы: 1 — пары металла, 2 — окислитель, 3 — газообразный продукт реакции, 4 — окисел.

Считаем, что до момента плавления окисной пленки протекает гетерогенная химическая реакция, скорость которой можно записать в виде [2]

$$K = \frac{k}{\delta^n} (O_2, x_{2,f})^n \exp(-E/R_\mu T_f),$$

где k — предэкспоненциальный множитель; δ — толщина окисной пленки; x — относительная мольная концентрация; E — энергия активации; R_μ — универсальная газовая постоянная; T — температура; f соответствует параметрам на фронте пламени.

Предполагается далее, что на стадии горения процесс идет в диффузионной области [3, 4] в пределах фронта пламени с бесконечно малой толщиной. Положение фронта определяется условием стехиометрии массовых потоков реагентов. В силу допущения о бесконечно большой скорости химических реакций концентрации реагентов в пределах фронта считаем равными нулю. Принимаем также, что диффузия в зонах является бинарной. В предлагаемой постановке задачи учитывается влияние на тепловой режим реакции подвода тепла от горящей газовзвеси частиц в зону предпламенного подогрева за счет двух механизмов — теплопроводности и излучения.

Для вычисления теплового потока от горящей газовзвеси частиц в зону предпламенного подогрева используем приближение независимой передачи тепла излучением и теплопроводностью. В этом случае поток тепла от горящей газовзвеси частиц металла в зону предпламенного подогрева можно записать в следующем виде:

$$Q = Q_F^\lambda + Q_F^R, \\ Q_F^\lambda = \pi r_\theta^2 \frac{\lambda_\theta}{l_\theta} (T_F - T_\theta), \quad (1)$$

$$Q_F^R = \pi r_\theta^2 \sigma a (T_F^4 - T_\theta^4). \quad (2)$$

Здесь Q — тепловой поток; λ — коэффициент теплопроводности; l — длина; σ — постоянная Стефана — Больцмана; индексы: θ — эффективное значение параметра; F — горящая газовзвесь частиц.

Коэффициент поглощения излучения в дисперсной среде (a) рассчитывается по следующей зависимости [7]:

$$a = \exp(-0,75 \mu l_\theta / \rho_m r_\theta),$$

где $l_\theta = l_0 + d_\theta/3$; μ — массовая концентрация металлических частиц; d — диаметр.

Полагаем, что при горении газовзвеси реализуется трехзонная модель, предложенная в [5, 6], где, в частности, показано, что образующиеся в результате горения субмикронные частицы окиси металла могут оказывать существенное влияние на диффузию реагентов к фронту пламени. Зону, заполненную частицами окиси, как и ранее, будем называть

к-зоной. Согласно [5, 6], в зависимости от температуры и давления среды (p), размера и концентрации частиц окиси в пределах к-зоны возможна реализация кнудсеновской области течения газа, т. е. когда длина свободного пробега газовых молекул больше расстояния между частицами окиси ($Kn > 1$).

Следуя работам [5, 6], при $Kn < 1$ коэффициенты диффузии в к-зоне (D^k) полагаются равными коэффициентам диффузии в чистом газе (D). Если $Kn > 1$, то коэффициент диффузии является функцией расстояния между частицами окиси (к-фазы), и можно принять

$$\bar{D}_{23}^k = \frac{\bar{D}_{23}}{Kn}.$$

Здесь черта над параметром означает его усреднение, k — к-зона, двойной числовой индекс — смесь компонентов. Критерий Кнудсена и коэффициент теплопроводности к-зоны (λ_{23}^k) рассчитывались по зависимостям, приведенным в [6].

При записи уравнений принято следующее правило знаков: потоки тепла и массы считаются положительными, если они направлены в сторону увеличения радиуса, и наоборот. Исходная система уравнений выглядит следующим образом:

уравнения тепло- и массопереноса

$$d^2T/dr^2 + dT/dr \cdot (2/r - z/r^2) = 0, \quad (3)$$

$$j_1 = -D_{13}\rho_1 \cdot dx_1/dr + x_1\rho_1 V, \quad (4)$$

$$j_2 = -D_{23}\rho_2 \cdot dx_2/dr + x_2\rho_2 V, \quad (5)$$

где $z = \sum_{i=1}^n J_i c_{pi} / 4\pi \lambda_{ij}$; j — удельный массовый поток; V — скорость стефанова потока массы; J — массовый поток; c_p — удельная теплоемкость; уравнение теплового баланса фронта пламени

$$4\pi r_f^2 \lambda_{13} \frac{dT}{dr} \Big|_{f-0} - 4\pi r_f^2 \lambda_{23}^k \frac{dT}{dr} \Big|_{f+0} - Q_s^R - Q_F^R = -J_2 q(T_f), \quad (6)$$

где $Q_s^R = -4\pi r_s^2 \varepsilon_{\text{пр}} (T_f^4 - T_s^4)$ — радиационный поток тепла к поверхности частицы; q — тепловой эффект химической реакции; $\varepsilon_{\text{пр}} = \frac{1}{1/\varepsilon_s + r_s^2/r_f^2(1/\varepsilon_f - 1)}$ — приведенная степень черноты зоны $s-f$; ε — степень черноты; -0 и $+0$ — значение параметра слева и справа от соответствующей границы;

уравнение теплового баланса «условного» объема

$$\left\{ \left[\frac{4\pi}{3} (r_y^3 - r_{s0}^3) - V_4 \right] \bar{\rho}_{23} \bar{c}_{p23} + \bar{\rho}_4 \bar{c}_{p4} V_4 \right\} \frac{d\bar{T}_{23}}{d\tau} = -4\pi r_m^2 \lambda_{23} \frac{dT}{dr} \Big|_{m-0} + Q_F^R, \quad (7)$$

где V_4 — объем образующейся к-фазы; τ — время; m — приведенная пленка;

уравнение теплового баланса частицы

$$\frac{4\pi}{3} r_s^3 \rho_M c_{pM} \frac{dT_s}{d\tau} = 4\pi r_s^2 \lambda_{13} \frac{dT}{dr} \Big|_{s+0} - J_1 L - Q_s^R, \quad (8)$$

L — теплота испарения металла;

изменение массы частицы и массы окислителя в пределах «условного» объема

$$J_1 = -d/d\tau \cdot (4\pi/3 \cdot r_s^3 \rho_M), \quad (9)$$

$$J_2 = -dm_2/d\tau, \quad (10)$$

где m — масса;

уравнение стехиометрии

$$J_1/\beta_1 = -J_2/\beta_2 = J_3/\beta_3 = J_4/\beta_4, \quad (11)$$

β — массовое стехиометрическое соотношение;
уравнение состояния

$$p = \frac{\bar{\rho}_{23} \bar{R}_\mu \bar{T}_{23}}{\bar{M}_{23}}, \quad (12)$$

M — молекулярная масса;
массовый поток окиси металла

$$J_4 = 4\pi r_s^2 \rho_4 \frac{d\delta}{d\tau} = 4\pi r_s \frac{k}{\delta^n} (\rho_{2f} x_{2f})^m \exp(-E/R_\mu T_f), \quad (13)$$

$n = m = 1$.

Интегрирование уравнений (3)–(5) производится с учетом следующих граничных условий:

a) воспламенение

$$r = r_s = r_f: T = T_s - T_f, x_2 = x_{2f} = x_{2s}, x_1 = x_{1s}, \quad (14)$$

$$r_m \leq r \leq r_y: T = T_m, x_2 = x_{2m}, x_1 = x_{1m} = 0.$$

b) горение

$$r = r_s: T = T_s, x_2 = x_{2s} = 0, x_1 = x_{1s}, \quad (15)$$

$$r = r_f: T = T_f, x_2 = x_{2f} = 0, x_1 = x_{1f} = 0,$$

$$r = r_k: T = T_k, x_2 = x_{2k}, x_1 = x_{1k} = 0,$$

$$r_m \leq r \leq r_y: T = T_m, x_2 = x_{2m}, x_1 = x_{1m} = 0.$$

Интегрируя исходную систему уравнений (3)–(5) с учетом граничных условий (14) и пренебрегая на стадии воспламенения стефановым потоком массы (ввиду малости потока J_2), получим

$$J_2 = 4\pi \bar{D}_{23} \bar{\rho}_2 \frac{x_{2m} - x_{2s}}{1/r_s - 1/r_m}, \quad (16)$$

$$\frac{4\pi}{3} r_s c_{PM} \rho_M \frac{dT_s}{d\tau} = Q_F^R - 4\pi \lambda_{23} \frac{T_m - T_s}{1/r_s - 1/r_m} - J_2 q(T_f), \quad (17)$$

$$\frac{4\pi}{3} (r_y^3 - r_{s0}^3) \bar{c}_{p23} \bar{\rho}_{23} \frac{d\bar{T}_{23}}{d\tau} = 4\pi \bar{\lambda}_{23} \frac{T_m - T_s}{1/r_s - 1/r_m} + Q_F^\lambda. \quad (18)$$

Здесь Q_F^λ определяется по зависимости (1), где $T_s = \bar{T}_{23}$, $T_f = T_{f\max}$, $\lambda_s = -\bar{\lambda}_{23}$, $l_s = \left| l_0 + \frac{2r_y}{3} - w_F \tau \right|$, $r_s = r_y$, а Q_F^R определяется по формуле (2), где $T_s = T_s$, $T_f = T_{f\max}$, $l_s = \left| l_0 + \frac{2r_s}{3} - w_F \tau \right|$, $r_s = r_s$.

Уравнения (16)–(18) совместно с (9), (11)–(13) описывают процесс воспламенения газовзвеси частиц металла. Однако полученная система уравнений не замкнута относительно входящих в нее неизвестных и должна решаться совместно с системой уравнений, описывающих горение газовзвеси металлических частиц. Интегрируя (3)–(5), с учетом граничных условий (15), получим

$$\frac{\bar{J}_2 \bar{c}_{p23}}{1 - A_{23} A_{23}^K} (T_m - T_f) + \frac{\bar{J}_1 \bar{c}_{p1} A_{13}}{1 - A_{13}} (T_f - T_s) - Q_s^R - Q_F^R + J_2 q(T_f) = 0, \quad (19)$$

$$\left\{ \left[\frac{4\pi}{3} (r_y^3 - r_{s0}^3) - V_4 \right] \bar{\rho}_{23} \bar{c}_{p23} + \bar{\rho}_4 \bar{c}_{p4} V_4 \right\} \frac{d\bar{T}_{23}}{d\tau} =$$

$$= \frac{J_2 \bar{c}_{p23} A_{23} A_{23}^K}{1 - A_{23} A_{23}^K} (T_m - T_f) + Q_F^K, \quad (20)$$

$$\frac{4\pi}{3} r_s^3 c_{pM} \rho_M \frac{dT_s}{d\tau} = \frac{J_1 \bar{c}_{p1}}{1 - A_{13}} (T_f - T_s) - J_1 L - Q_s^K, \quad (21)$$

$$J_1 = \frac{\frac{4\pi D_{23} \bar{\rho}_2}{4\pi \lambda_{13}}}{1/r_s - 1/r_f} \ln \frac{1}{1 - x_{1s}}, \quad (22)$$

горение в воздухе

$$J_2 = \frac{4\pi D_{23} \bar{\rho}_2}{(1 - Kn)/r_K + Kn/r_f - 1/r_m} \ln \frac{1}{1 - x_{2m}}, \quad (23)$$

горение в водяном паре

$$J_2 = \frac{4\pi D_{23} \bar{\rho}_2 x_{2m}}{(1 - Kn)/r_K + Kn/r_f - 1/r_n}. \quad (24)$$

Здесь

$$\begin{aligned} A_{13} &= \exp \left[\frac{J_1 \bar{c}_{p1} (1/r_s - 1/r_f)}{4\pi \lambda_{13}} \right]; \\ A_{23} &= \exp \left[\frac{J_2 \bar{c}_{p23} (1/r_K - 1/r_m)}{4\pi \lambda_{23}} \right]; \\ A_{23}^K &= \exp \left[\frac{J_2 \bar{c}_{p23} (1/r_f - 1/r_K)}{4\pi \lambda_{23}^K} \right], \end{aligned}$$

Q_F^K рассчитывается по формуле (1), где $T_s = T_{23}$, $l_s = |l_0 + 2/3r_y - w_F \tau|$, $r_s = r_y$, $\lambda_s = \lambda_{23}$; Q_F^R рассчитывается по формуле (2), где $T_s = T_f$, $l_s = |l_0 + 2/3r_f - w_F \tau|$, $r_y = r_f$.

Уравнения (19)–(24) совместно с уравнениями (16)–(18) и (9)–(13) образуют замкнутую систему расчетных уравнений, позволяющую определить все важнейшие характеристики воспламенения и горения газовзвесей частиц металлов (w_F , τ_F , T_f и т. д.).

Средние значения температур и концентраций рассчитываются по следующим зависимостям:

$$\bar{T}_{ij} = \frac{1}{V_{ij}} \int T dV,$$

$$\bar{x}_i = \frac{1}{V_{ij}} \int x dV,$$

где $V_{ij} = \frac{4\pi}{3} (r_j^3 - r_i^3)$ — объем соответствующей зоны.

Полученная система решалась численно на ЭВМ ЕС10-30. Выбор теплофизических констант осуществлялся на основании работ [7–11].

На рис. 1 представлены зависимости комплекса J_1/r_s , характеризующего скорость горения (сплошные линии), и r_s (штриховые) от времени при горении газовзвеси частиц Al в смеси $H_2 + O_2 + N_2$. Из полученных результатов видно, что особенности горения газовзвеси частиц металла при $\alpha \approx 1$ по сравнению с горением одиночной частицы связаны с существенной переменностью по времени основных параметров, характеризующих процесс горения. При $\alpha \approx 1$ основным фактором, оказывющим наибольшее влияние на время горения газовзвеси, является концентрация окислителя в среде. По мере выгорания металла относительная концентрация окислителя изменяется от x_{2m} до 0, что приводит к уменьшению массового потока окислителя (J_2), снижению скорости горения и соответственно увеличению времени горения частиц (τ_F).

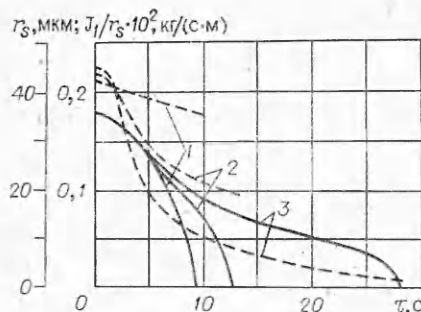


Рис. 1. Зависимость J_1/r_s и r_s от τ . ($H_2+N_2+O_2$, $d_{s0}=70$ мкм, $p=27$ бар).
1 — одиночная частица Al (по методике [6]); 2 — $\alpha=2$; 3 — $\alpha=1,05$.

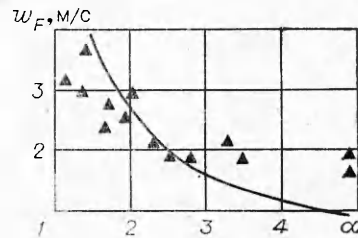


Рис. 2. Зависимость w_F от α (воздух, $d_{s0}=70$ мкм, $p=20-30$ бар).

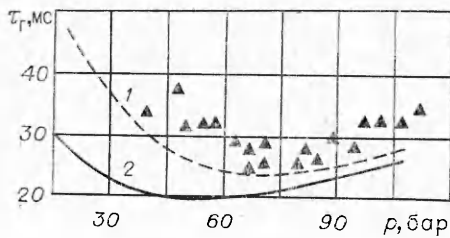


Рис. 3. Зависимость τ_r от p ($H_2+N_2+O_2$, Al, $d_{s0}=70$ мкм, $\alpha=1,15$).
1 — $d_4=0,05$ мкм; 2 — $d_4=0,1$ мкм.

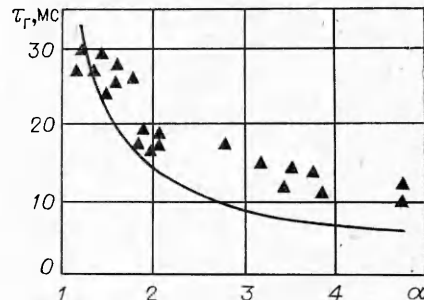


Рис. 4. Зависимость τ_r от α ($H_2+N_2+O_2$, Al, $d_{s0}=70$ мкм, $p=40-60$ бар).

При $\alpha > 2$ относительное влияние изменения концентрации окислителя в среде на процесс горения менее существенно, и характер изменения основных параметров (T_f , T_s , J_1/r_s , r_s) приближается к тому, который имеет место при горении одиночных частиц металла.

На рис. 2 представлена расчетная зависимость скорости распространения фронта пламени по газовзвеси частиц Al в воздухе в функции от α . Для сравнения точками нанесены результаты эксперимента [12]. Снижение w_F по мере возрастания α обусловлено уменьшением тепловыделения на единицу массы реагентов.

Как следует из полученных экспериментальных данных [13] (рис. 3), по мере роста давления среды τ_r частиц в газовзвеси уменьшается, в диапазоне $p = 60-80$ бар достигает минимума и затем начинает возрастать. Подобный экстремальный характер зависимости $\tau_r = \varphi(p)$ трудно объяснить с позиций существующих моделей. Как показывает расчет, механизм влияния давления на время горения газовзвеси аналогичен подробно описанному в работе [5] механизму влияния p на горение одиночных частиц и обусловлен влиянием субмикронных частиц окиси металла на коэффициенты переноса. Одним из параметров, оказывающих влияние на положение минимума па кривой $\tau_r = \varphi(p)$, является размер частиц окиси (d_4), образующейся при горении металла. При горении частиц Al наиболее вероятный размер частиц окиси лежит в диапазоне $0,05 < d_4 < 0,1$ мкм. Из рис. 3 видно, что по мере уменьшения d_4 минимум на кривой $\tau_r = \varphi(p)$ смещается в область больших давлений.

В [12, 13] показано, что по мере увеличения α время горения газовзвеси частиц металла снижается, причем наиболее существенное изменение τ_r имеет место в диапазоне $\alpha = 1 \div 2$. Расчетная кривая зави-

симости $\tau_r = \varphi(\alpha)$ в сравнении с экспериментальными данными [12] представлена на рис. 4. Как следует из изложенного, подобный характер протекания зависимости связан с уменьшением потоков реагентов при α , близких к единице, вследствие резкого снижения концентрации окислителя по мере выгорания частиц.

Время горения по мере роста d_{s0} возрастает (рис. 5), причем показатель степени в законе $\tau_r = ad_{s0}^n$ лежит в диапазоне $n = 1,5 \div 2,0$. Удовлетворительное согласование расчетных и экспериментальных данных дает возможность сделать вывод о корректности предложенной модели, позволяющей проводить расчеты процессов воспламенения и горения газовзвесей частиц металлов в широком диапазоне изменения параметров окислительной среды.

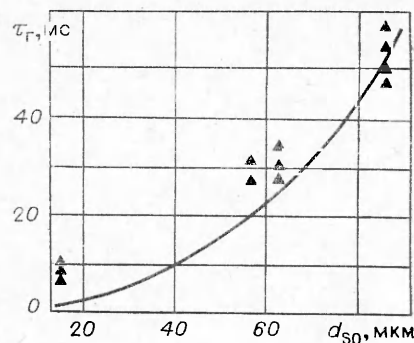


Рис. 5. Зависимость τ_r от d_{s0} ($\text{H}_2 + \text{N}_2 + \text{O}_2$, Al, $p = 40$ бар, $\alpha = 1,05$).

Поступила в редакцию
26/XII 1980

ЛИТЕРАТУРА

- Л. А. Клячко. Теплоэнергетика, 1966, 8.
- А. П. Алдущин, В. Н. Блошенко, Б. С. Сеплярский. ФГВ, 1973, 9, 4.
- Л. А. Клячко. ФГВ, 1969, 5, 3.
- Т. Бражустовский, И. Глассмен.— В сб.: Гетерогенное горение. М.: Мир, 1967.
- А. В. Воронецкий, А. В. Сухов, А. П. Шпара. Вопросы двигателестроения/Под ред. В. М. Кудрявцева. Вып. 1. М.: Изд. МВТУ им. Баумана, 1979.
- В. М. Кудрявцев, А. В. Сухов и др. ФГВ, 1979, 15, 6.
- А. Г. Блох. Основы теплообмена излучением. М.—Л.: ГЭИ, 1962.
- Н. Б. Варгафтик. Справочник по теплофизическим свойствам газов и жидкостей. М.: Наука, 1972.
- П. Кофстад. Высокотемпературное окисление металлов. М.: Мир, 1969.
- О. Кубашевский, Б. Гопкинс. Окисление металлов и сплавов. М.: Металлургия, 1965.
- Р. К. Рид, Т. К. Шервуд. Свойства газов и жидкостей. Л.: Химия, 1971.
- В. М. Кудрявцев, А. В. Сухов и др. Вторая Всесоюз. конф. по технологическому горению. Черноголовка, 1978.
- В. М. Кудрявцев, А. В. Сухов и др. Третья Всесоюз. конф. по вопросам испарения, горения и газовой динамики дисперсных систем. Одесса, 1979.

МАСС-СПЕКТРОМЕТРИЧЕСКОЕ ИССЛЕДОВАНИЕ ХИМИЧЕСКОЙ СТРУКТУРЫ ПЛАМЕН ХЛОРНОЙ КИСЛОТЫ В СТЕХИОМЕТРИЧЕСКОЙ СМЕСИ С МЕТАНОМ

О. П. Коробейников, В. Н. Орлов, Н. Я. Шифон
(Новосибирск)

Знание механизма горения хлорной кислоты и кинетики ее химических реакций имеет важное значение для понимания механизма и создания математической модели горения твердых топлив на основе перхлората аммония. Исследование структуры разреженных пламен хлорной кис-